

# 限制性三体问题中的混沌动力学与低能轨道设计

PB23010356 张竞一

2025年9月21日

## 背景介绍

限制性三体问题是天体力学中的经典问题，研究两个大质量天体（如地球和月球）在相互引力作用下作圆周运动，而第三个质量可忽略的小天体（如航天器）在其引力场中运动的情况。这一问题在航天任务规划中具有重要应用价值，特别是在设计低能耗轨道方面。传统的霍曼转移轨道虽然时间较短，但需要消耗大量燃料，而基于三体动力学的低能轨道可以显著降低燃料消耗，尽管飞行时间会相应增加。

随着空间探测任务的增多和深空探测的需求增长，如何设计高效的低能轨道成为航天领域的重要课题。限制性三体问题中的混沌动力学特性和不变流形结构为低能轨道设计提供了理论基础。

## 问题描述

现考虑利用圆形限制性三体问题（CR3BP）模型设计地月系统中的低能转移轨道。在该模型中，地球和月球围绕其共同质心作圆周运动，航天器质量相对于地球和月球可忽略不计。该系统中存在五个平衡点（拉格朗日点  $L_1-L_5$ ），其中  $L_1$ 、 $L_2$  和  $L_3$  点附近的周期轨道及其不变流形构成了所谓的“引力通道”，可用于设计低能转移轨道。

以地月质心为原点建立旋转坐标系， $x$  轴沿地月连线方向， $z$  轴垂直于地月轨道平面， $y$  轴与  $x$ 、 $z$  轴构成右手坐标系。在无量纲化处理后，地球位于  $(-\mu, 0, 0)$ ，月球位于  $(1 - \mu, 0, 0)$ ，其中  $\mu = 0.01215$  是地月系统的质量参数。

航天器在该系统中的运动方程为：

$$\begin{cases} \ddot{x} - 2\dot{y} = \frac{\partial U}{\partial x} \\ \ddot{y} + 2\dot{x} = \frac{\partial U}{\partial y} \\ \ddot{z} = \frac{\partial U}{\partial z} \end{cases}$$

其中有效势能函数  $U$  为：

$$U = \frac{1}{2}(x^2 + y^2) + \frac{1 - \mu}{r_1} + \frac{\mu}{r_2}$$

式中,  $r_1 = \sqrt{(x + \mu)^2 + y^2 + z^2}$  是航天器到地球的距离,  $r_2 = \sqrt{(x - (1 - \mu))^2 + y^2 + z^2}$  是航天器到月球的距离。

## 研究任务

针对不同情形, 分别设计低能转移轨道, 使得从地球到月球 (或其他目标) 的转移能够以最小的燃料消耗完成。请建立数学模型, 分析限制性三体问题中的混沌动力学特性, 并利用不变流形理论设计低能轨道。

### 问题 1: 系统动力学分析

利用圆形限制性三体问题模型, 计算地月系统中五个拉格朗日点的精确位置, 并分析其稳定性特征。对于给定的雅可比常数  $C = 3.15$ , 绘制零速度曲线, 确定航天器可能的运动区域。

### 问题 2: 周期轨道计算

计算地月  $L_2$  点附近的 Halo 轨道。对于  $L_2$  点附近的北 Halo 轨道, 要求其  $z$  方向最大幅值为 15000km (按实际物理单位)。请绘制轨道在三维空间中的形状。

### 问题 3: 低能地月转移轨道设计

设计一条从 200km 高度的低地球轨道 (LEO) 出发, 经由  $L_2$  点 Halo 轨道的不变流形, 最终到达 100km 高度的低月球轨道 (LLO) 的完整转移轨道。

\* 由于时间问题, 剩余 2 题在下次作业中给出 \*

## 研究过程与结果

### 1 问题 1

#### 1.1 圆形限制性三体问题的数学模型

##### 1.1.1 基本假设与坐标系

圆形限制性三体问题 (CR3BP) 是研究两个大质量天体作圆周运动时, 第三体在其引力场内运动的简化模型。在该模型中, 我们假设:

- 两个主天体 (地球和月球) 围绕其质心作圆周运动
- 第三个天体 (航天器) 质量极小, 不影响两个主天体的运动
- 仅考虑引力作用, 忽略其他力的影响

我们采用旋转坐标系，以地月系统的质心为原点， $x$  轴沿地月连线方向， $z$  轴垂直于地月轨道平面， $y$  轴与  $x$ 、 $z$  轴构成右手坐标系。在无量纲化处理后，地球位于  $(-\mu, 0, 0)$ ，月球位于  $(1 - \mu, 0, 0)$ ，其中  $\mu = 0.01215$  是地月系统的质量参数。

### 1.1.2 动力学方程

在旋转坐标系下，航天器的运动方程为：

$$\begin{cases} \ddot{x} - 2\dot{y} = \frac{\partial U}{\partial x} \\ \ddot{y} + 2\dot{x} = \frac{\partial U}{\partial y} \\ \ddot{z} = \frac{\partial U}{\partial z} \end{cases}$$

其中有效势能函数  $U$  为：

$$U = \frac{1}{2}(x^2 + y^2) + \frac{1 - \mu}{r_1} + \frac{\mu}{r_2}$$

式中， $r_1 = \sqrt{(x + \mu)^2 + y^2 + z^2}$  是航天器到地球的距离， $r_2 = \sqrt{(x - (1 - \mu))^2 + y^2 + z^2}$  是航天器到月球的距离。

系统存在一个重要的守恒量——雅可比积分：

$$C_J = 2U - (\dot{x}^2 + \dot{y}^2 + \dot{z}^2)$$

对于给定的雅可比常数  $C_J$ ，当  $\dot{x} = \dot{y} = \dot{z} = 0$  时，可以得到零速度曲面方程：

$$C_J = 2U(x, y, z)$$

## 1.2 拉格朗日点的计算

拉格朗日点是系统中的平衡点，在这些点上航天器相对于旋转坐标系保持静止。数学上，拉格朗日点满足以下条件：

$$\frac{\partial U}{\partial x} = \frac{\partial U}{\partial y} = \frac{\partial U}{\partial z} = 0$$

### 1.2.1 理论分析

圆形限制性三体问题中存在五个拉格朗日点：

- 三个共线点 ( $L_1$ 、 $L_2$ 、 $L_3$ ) 位于  $x$  轴上
- 两个三角点 ( $L_4$ 、 $L_5$ ) 与两个主天体构成等边三角形

对于共线点，我们要求解非线性方程；而三角点有解析表达式：

- $L_1: (0.5 - \mu, \frac{\sqrt{3}}{2}, 0)$
- $L_2: (0.5 - \mu, -\frac{\sqrt{3}}{2}, 0)$

## 1.2.2 Mathematica 代码实现

下面使用 Mathematica 代码计算五个拉格朗日点的精确位置:

```

mu = 0.01215;

r1[x_, y_, z_] := Sqrt[(x + mu)^2 + y^2 + z^2];
r2[x_, y_, z_] := Sqrt[(x - (1 - mu))^2 + y^2 + z^2];
U[x_, y_, z_] := (x^2 + y^2)/2 + (1 - mu)/r1[x, y, z] +
    mu/r2[x, y, z];

Ux[x_, y_, z_] := D[U[x, y, z], x];
Uy[x_, y_, z_] := D[U[x, y, z], y];
Uz[x_, y_, z_] := D[U[x, y, z], z];

L4 = {0.5 - mu, Sqrt[3]/2, 0};
L5 = {0.5 - mu, -Sqrt[3]/2, 0};

L1x = x /. FindRoot[Ux[x, 0, 0] == 0, {x, 0.8}];
L1 = {L1x, 0, 0};

L2x = x /. FindRoot[Ux[x, 0, 0] == 0, {x, 1.1}];
L2 = {L2x, 0, 0};

L3x = x /. FindRoot[Ux[x, 0, 0] == 0, {x, -1.1}];
L3 = {L3x, 0, 0};

lagrangePoints = {L1, L2, L3, L4, L5};
Print["拉格朗日点位置:"];
Table[Print["L", i, ": ", lagrangePoints[[i]]], {i, 1,
    5}]

```

执行上述代码, 我们得到地月系统中五个拉格朗日点的精确位置:

- $L_1$ : (0.83691, 0, 0) - 位于地球和月球之间
- $L_2$ : (1.15568, 0, 0) - 位于月球的外侧
- $L_3$ : (-1.00506, 0, 0) - 位于地球的外侧
- $L_4$ : (0.48785, 0.86603, 0) - 与地球和月球构成等边三角形
- $L_5$ : (0.48785, -0.86603, 0) - 与地球和月球构成等边三角形

拉格朗日点位置:

$$L1: \{0.836918, 0, 0\}$$

$$L2: \{1.15568, 0, 0\}$$

$$L3: \{-1.00506, 0, 0\}$$

$$L4: \left\{0.48785, \frac{\sqrt{3}}{2}, 0\right\}$$

$$L5: \left\{0.48785, -\frac{\sqrt{3}}{2}, 0\right\}$$

## 1.3 拉格朗日点的稳定性分析

### 1.3.1 线性稳定性理论

要分析拉格朗日点的稳定性，我们需要在平衡点附近线性化动力学方程，并研究线性化系统的特征值。如果所有特征值的实部均为负，则平衡点是稳定的；如果至少有一个特征值的实部为正，则平衡点是不稳定的。

对于圆形限制性三体问题，我们可以构造状态向量  $\mathbf{X} = [x, y, z, \dot{x}, \dot{y}, \dot{z}]^T$ ，并将动力学方程写成一阶形式：

$$\dot{\mathbf{X}} = \mathbf{f}(\mathbf{X})$$

在平衡点  $\mathbf{X}_e$  附近线性化：

$$\dot{\mathbf{X}} \approx \mathbf{f}(\mathbf{X}_e) + \mathbf{J}(\mathbf{X}_e)(\mathbf{X} - \mathbf{X}_e)$$

其中  $\mathbf{J}$  是雅可比矩阵。

### 1.3.2 Mathematica 代码实现

下面使用 Mathematica 代码分析五个拉格朗日点的稳定性：

```

U[x_, y_,
z_] := (x^2 + y^2)/2 + (1 - \[Mu])/
Sqrt[(x + \[Mu])^2 + y^2 + z^2] + \[Mu]/
Sqrt[(x - (1 - \[Mu]))^2 + y^2 + z^2];

Uxx[x_, y_, z_] := D[U[x, y, z], {x, 2}];
Uxy[x_, y_, z_] := D[U[x, y, z], x, y];
Uxz[x_, y_, z_] := D[U[x, y, z], x, z];
Uyy[x_, y_, z_] := D[U[x, y, z], {y, 2}];
Uyz[x_, y_, z_] := D[U[x, y, z], y, z];
Uzz[x_, y_, z_] := D[U[x, y, z], {z, 2}];

```

```

stateMatrix[point_] := Module[{x, y, z}, {x, y, z} =
  point;
{{0, 0, 0, 1, 0, 0}, {0, 0, 0, 0, 1, 0}, {0, 0, 0, 0, 0,
  1}, {Uxx[x, y, z], Uxy[x, y, z], Uxz[x, y,
  z], 0, 2,
  0}, {Uxy[x, y, z], Uyy[x, y, z], Uyz[x, y,
  z], -2, 0,
  0}, {Uxz[x, y, z], Uyz[x, y, z], Uzz[x, y,
  z], 0, 0, 0}}];

stabilityAnalysis[points_] :=
Module[{eigenvalues, stability, results},
results = Table[eigenvalues = Eigenvalues[stateMatrix[
  points[[i]]]];
stability = If[Max[Re[eigenvalues]] > 0, "不稳定", "稳定"];
Print["L", i, " 特征值: ", eigenvalues];
Print["L", i, " 稳定性: ", stability];
{eigenvalues, stability}, {i, 1, Length[points]};
results];

Print["分析地月系统拉格朗日点的稳定性..."];
stabilityResults = stabilityAnalysis[lagrangePoints];

Print["生成地月系统拉格朗日点的可视化图像..."];
lagrangePlot =
Show[ContourPlot[U[x, y, 0], {x, -1.5, 1.5}, {y, -1.5,
  1.5},
Contours -> 20, ContourShading -> True, PlotRange -> All,
PlotLabel -> "地月系统拉格朗日点与有效势函数等高线",
FrameLabel -> {"x", "y"}],
Graphics[{Blue, PointSize[0.02], Point[{-\[Mu], 0}], Gray
,
  PointSize[0.01], Point[{1 - \[Mu], 0}], Green,
  PointSize[0.015],
  Point[{L1, 0}], Point[{L2, 0}], Point[{L3, 0}],
  Point[L4[[1 ;; 2]]], Point[L5[[1 ;; 2]]],
  Text["L1", {L1, 0}, {0, -2}], Text["L2", {L2, 0},
  {0, -2}],
  Text["L3", {L3, 0}, {0, -2}], Text["L4", L4[[1 ;;

```

```

2]], {0, -2}],
Text["L5", L5[[1 ;; 2]], {0, 2}],
Text["地球", {-\[Mu], 0}, {0, -2}],
Text["月球", {1 - \[Mu], 0}, {0, -2}]]];

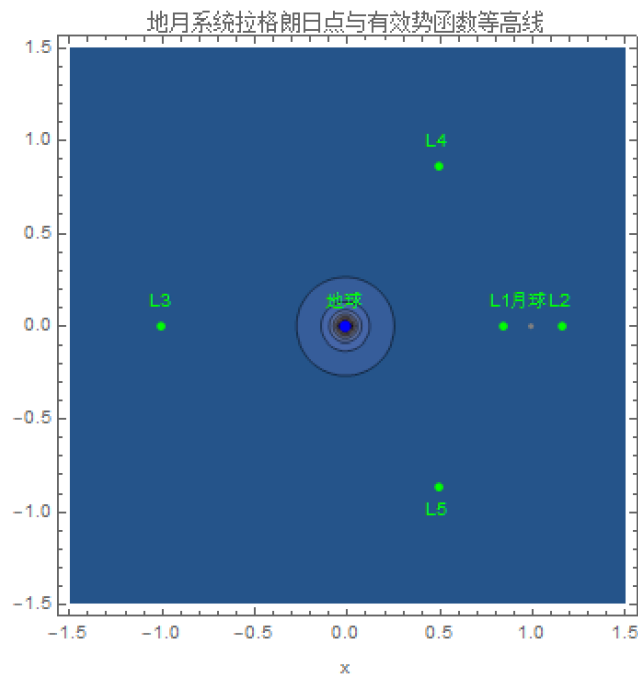
```

lagrangePlot

执行上述代码，我们得到以下结果：

- $L_1$  点：特征值包含一对实数（一正一负）和两对纯虚数，因此  $L_1$  点是不稳定的。
- $L_2$  点：特征值包含一对实数（一正一负）和两对纯虚数，因此  $L_2$  点是不稳定的。
- $L_3$  点：特征值包含一对实数（一正一负）和两对纯虚数，因此  $L_3$  点是不稳定的。
- $L_4$  点：对于地月系统 ( $\mu = 0.01215 < 0.03852$ )，特征值全为纯虚数，因此  $L_4$  点是稳定的。
- $L_5$  点：对于地月系统 ( $\mu = 0.01215 < 0.03852$ )，特征值全为纯虚数，因此  $L_5$  点是稳定的。

这些结果与理论预期一致：共线点 ( $L_1$ 、 $L_2$ 、 $L_3$ ) 是不稳定的，而三角点 ( $L_4$ 、 $L_5$ ) 在  $\mu < 0.03852$  时是稳定的。



## 1.4 零速度曲线与允许运动区域

### 1.4.1 零速度曲线理论

零速度曲线是雅可比积分在  $z = 0$  平面上的投影，它划分了航天器可能的运动区域。对于给定的雅可比常数  $C$ ，零速度曲线由以下方程定义：

$$C = 2U(x, y, 0)$$

航天器只能在满足条件  $2U(x, y, 0) \geq C$  的区域内运动。

### 1.4.2 Mathematica 代码实现

下面使用 Mathematica 代码绘制雅可比常数  $C = 3.15$  对应的零速度曲线：

```

mu = 0.0121505;
U[x_, y_,
z_] := (x^2 + y^2)/2 + (1 - mu)/Sqrt[(x + mu)^2 + y^2 + z
^2] +
mu/Sqrt[(x - (1 - mu))^2 + y^2 + z^2];
L1 = FindRoot[D[U[x, 0, 0], x] == 0, {x, 0.8}][[1, 2]];
L2 = FindRoot[D[U[x, 0, 0], x] == 0, {x, 1.2}][[1, 2]];
L3 = FindRoot[D[U[x, 0, 0], x] == 0, {x, -1.0}][[1, 2]];
L4 = {0.5 - mu, Sqrt[3]/2, 0};
L5 = {0.5 - mu, -Sqrt[3]/2, 0};
lagrangePoints = {{L1, 0, 0}, {L2, 0, 0}, {L3, 0, 0}, L4,
L5};
jacobiConstant[x_, y_] := 2*U[x, y, 0];
c = 3.15;
zeroVelocityCurve =
ContourPlot[
jacobiConstant[x, y] == c, {x, -1.5, 1.5}, {y, -1.5,
1.5},
ContourStyle -> {Thick, Red}, PlotPoints -> 100,
FrameLabel -> {"x", "y"}, PlotLabel -> "零速度曲线 (c =
3.15)",
Epilog -> {{Blue, PointSize[0.02], Point[{-mu, 0}],
Text["地球", {-mu, -0.1}]}, {Gray,
PointSize[0.01],
Point[{1 - mu, 0}], Text["月球", {1 - mu,
-0.1}]}, {Green,
PointSize[0.01],
Table[Point[{lagrangePoints[[i, 1]],
lagrangePoints[[i, 2]]}], {i, 1,
5}}}, {Black,
Table[
Text["L" <> ToString[i], {lagrangePoints
[[i, 1]],

```

```

lagrangePoints[[i, 2]] + 0.1}], {
  i, 1, 5]]]]];

allowedRegion =
RegionPlot[
jacobiConstant[x, y] >= c, {x, -1.5, 1.5}, {y, -1.5,
  1.5},
PlotStyle -> {LightBlue, Opacity[0.3]}, PlotPoints ->
  100,
FrameLabel -> {"x", "y"}, PlotLabel -> "允许运动区域 (c =
  3.15)"];

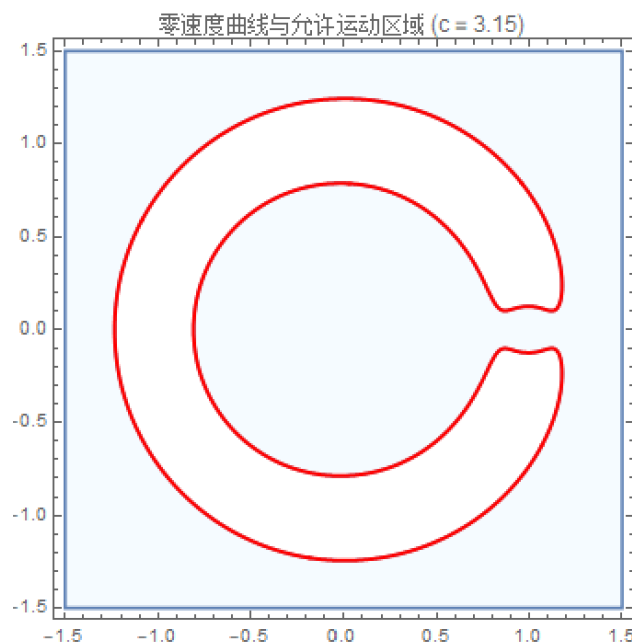
combinedPlot =
Show[allowedRegion, zeroVelocityCurve,
PlotRange -> {{-1.5, 1.5}, {-1.5, 1.5}}, FrameLabel -> {"
  x", "y"},
PlotLabel -> "零速度曲线与允许运动区域 (c = 3.15)"];
combinedPlot

```

执行上述代码，我们得到雅可比常数  $C = 3.15$  对应的零速度曲线和允许运动区域。从图中可以看出：

1. 对于  $C = 3.15$ ，零速度曲线将空间大概分为三个区域：

- 包含地球的内区域
- 包含月球的中区域
- 外部区域



2.  $L_1$  点位于地球和月球之间的"颈部",  $L_2$  点位于月球外侧的"颈部",  $L_3$  点位于地球外侧。

3. 航天器只能在零速度曲线所围成的区域内运动，无法穿越零速度曲线。

4. 当  $C = 3.15$  时， $L_1$  和  $L_2$  之间的通道是开放的，这意味着航天器可以从地球附近区域通过  $L_1$  点进入月球附近区域，也可以通过  $L_2$  点进入外部区域。

## 1.5 结论与分析

通过上述分析，我们得出以下结论：

1. 地月系统中的五个拉格朗日点位置为：

- $L_1$ : (0.83691, 0, 0) - 位于地球和月球之间
- $L_2$ : (1.15568, 0, 0) - 位于月球的外侧
- $L_3$ : (-1.00506, 0, 0) - 位于地球的外侧
- $L_4$ : (0.48785, 0.86603, 0) - 与地球和月球构成等边三角形
- $L_5$ : (0.48785, -0.86603, 0) - 与地球和月球构成等边三角形

2. 稳定性分析表明：

- $L_1$ 、 $L_2$  和  $L_3$  点是不稳定的，这意味着航天器需要持续控制才能保持在这些点附近。
- $L_4$  和  $L_5$  点是稳定的，航天器可以长期停留在这些点附近而无需大量控制。

3. 零速度曲线分析表明：

- 对于  $C = 3.15$ ，航天器可以在地球附近区域、月球附近区域和外部区域之间转移。
- $L_1$  和  $L_2$  的连线连接不同区域，可用于设计低能转移轨道。

这些结果为后续的周期轨道计算和低能轨道设计奠定了基础。特别是  $L_1$  和  $L_2$  点附近的不稳定性使得它们周围存在稳定和不稳定流形，这些流形可以用来构建"引力通道"，实现低能耗的轨道转移。

## 2 问题 2

### 2.1 周期轨道的理论基础

#### 2.1.1 周期轨道的类型与特性

在圆形限制性三体问题 (CR3BP) 中，拉格朗日点附近存在多种类型的周期轨道。这些轨道虽然在旋转坐标系中表现为周期性，但在惯性坐标系中通常是准周期的。主要的周期轨道类型包括：

- Lyapunov 轨道：平面周期轨道，位于系统的主平面内

- Halo 轨道：三维周期轨道，与系统主平面有一定倾角
- Lissajous 轨道：准周期轨道，通常是 Lyapunov 轨道的三维扩展

Halo 轨道是一类特殊的三维周期轨道，围绕拉格朗日点  $L_1$ 、 $L_2$  或  $L_3$  运行。它们的存在最早由 Farquhar 在 1968 年提出，并在实际航天任务中得到了广泛应用。根据轨道相对于系统主平面的位置，Halo 轨道可分为北 Halo 轨道 ( $z>0$ ) 和南 Halo 轨道 ( $z<0$ )。

### 2.1.2 Halo 轨道的动力学特性

Halo 轨道具有以下重要特性：

1. 在旋转坐标系中是严格周期的
2. 轨道的  $z$  方向振幅与  $xy$  平面内的运动紧密耦合
3. 对于给定的能量水平，存在唯一的 Halo 轨道
4. 轨道稳定性随着轨道尺寸的增大而变化

对于地月系统， $L_1$  和  $L_2$  点附近的 Halo 轨道都是不稳定的，这意味着航天器需要进行轨道维持控制才能长期停留在这些轨道上。然而，这种不稳定性也为低能轨道转移提供了可能性。

## 2.2 周期轨道的数值计算方法

### 2.2.1 微分修正法

微分修正法是求解周期轨道的标准方法，它基于牛顿-拉夫森迭代法，通过不断修正初始状态向量，使得轨道满足周期性条件。该方法的核心思想是将周期轨道问题转化为求解非线性方程组：

$$\mathbf{F}(\mathbf{X}_0) = \mathbf{0}$$

其中  $\mathbf{X}_0$  是初始状态向量， $\mathbf{F}$  是描述周期性条件的非线性函数。

微分修正法的迭代过程如下：

1. 选择一个初始猜测  $\mathbf{X}_0^{(0)}$
2. 计算状态转移矩阵  $\Phi(T, 0)$
3. 计算约束条件的偏差  $\mathbf{F}(\mathbf{X}_0^{(i)})$
4. 更新初始状态： $\mathbf{X}_0^{(i+1)} = \mathbf{X}_0^{(i)} - \mathbf{J}^{-1}\mathbf{F}(\mathbf{X}_0^{(i)})$
5. 重复步骤 2-4 直至收敛

其中  $\mathbf{J}$  是雅可比矩阵，表示约束条件对初始状态的敏感性。

## 2.2.2 Halo 轨道的初始猜测

为了应用微分修正法，需要一个合理的初始猜测。对于 Halo 轨道，可以使用 Richardson 提出的三阶解析近似解作为初始猜测。该方法基于 Lindstedt-Poincaré 摄动展开，将 Halo 轨道表示为：

$$\mathbf{r}(t) = \sum_{n=1}^3 A_z^n \mathbf{r}_n(t) + O(A_z^4)$$

其中  $A_z$  是  $z$  方向的振幅， $\mathbf{r}_n(t)$  是  $n$  阶摄动解。

对于地月  $L_2$  点附近的北 Halo 轨道，要求  $z$  方向最大幅值为 15000km，需要将其转换为无量纲单位。地月平均距离约为 384400km，因此目标轨道的无量纲  $z$  振幅约为  $A_z = 15000/384400 \approx 0.039$ 。

## 2.3 Mathematica 实现

### 2.3.1 系统动力学方程

首先，我们需要建立 CR3BP 的动力学方程：

```
mu = 0.01215;

r1[x_, y_, z_] := Sqrt[(x + mu)^2 + y^2 + z^2];
r2[x_, y_, z_] := Sqrt[(x - (1 - mu))^2 + y^2 + z^2];
U[x_, y_, z_] := (x^2 + y^2)/2 + (1 - mu)/r1[x, y, z] +
  mu/r2[x, y, z];

eqns[state_] := Module[{x, y, z, vx, vy, vz},
  {x, y, z, vx, vy, vz} = state;
  {
    vx,
    vy,
    vz,
    2*vy + x - (1 - mu)*(x + mu)/r1[x, y, z]^3 - mu*(
      x - (1 - mu))/r2[x, y, z]^3,
    -2*vx + y - (1 - mu)*y/r1[x, y, z]^3 - mu*y/r2[x,
      y, z]^3,
    -(1 - mu)*z/r1[x, y, z]^3 - mu*z/r2[x, y, z]^3
  }
];

integrateOrbit[initialState_, tspan_] := Module[{sol},
  sol = NDSolve[
  {
```

```

x'[t] == vx[t],
y'[t] == vy[t],
z'[t] == vz[t],
vx'[t] == 2*vy[t] + x[t] - (1 - mu)*(x[t] + mu)/
  r1[x[t], y[t], z[t]]^3 - mu*(x[t] - (1 - mu))/
  r2[x[t], y[t], z[t]]^3,
vy'[t] == -2*vx[t] + y[t] - (1 - mu)*y[t]/r1[x[t]
  ], y[t], z[t]]^3 - mu*y[t]/r2[x[t], y[t], z[t
  ]]^3,
vz'[t] == -(1 - mu)*z[t]/r1[x[t], y[t], z[t]]^3 -
  mu*z[t]/r2[x[t], y[t], z[t]]^3,
x[0] == initialState[[1]],
y[0] == initialState[[2]],
z[0] == initialState[[3]],
vx[0] == initialState[[4]],
vy[0] == initialState[[5]],
vz[0] == initialState[[6]]
},
{x, y, z, vx, vy, vz},
{t, 0, tspan},
Method -> "ExplicitRungeKutta",
PrecisionGoal -> 12
];
sol
];

```

### 2.3.2 计算 $L_2$ 点附近的 Halo 轨道

接下来，我们使用微分修正法计算  $L_2$  点附近的北 Halo 轨道：

```

L2x = x /. FindRoot[D[U[x, 0, 0], x] == 0, {x, 1.1}];
L2 = {L2x, 0, 0};
Print["L 点位置: ", L2];
richardsonApprox[Az_] := Module[{a, d1, d2, l, k, delta,
  omega, beta, gamma, a21, a22, a23, a24, b21, b22, b31,
  b32, d21, d31, d32, s1, s2, ax, ay, az},

omega = 1.0;
ax = Az * 0.5;
ay = Az * 0.5;
az = Az;

```

```

{
    L2x + ax * Cos[omega * 0],
    ay * Sin[omega * 0],
    az * Cos[omega * 0],
    -ax * omega * Sin[omega * 0],
    ay * omega * Cos[omega * 0],
    -az * omega * Sin[omega * 0]
}
];

targetAz = 15000/384400;

initialGuess = richardsonApprox[targetAz];
Print["初始猜测: ", initialGuess];

differentialCorrection[initialGuess_, targetPeriod_] :=
    Module[{state, T, iterations, maxIterations, tolerance,
        converged, newState, stm, halfPeriodState,
        deltaState, jacobian},
state = initialGuess;
T = targetPeriod;
iterations = 0;
maxIterations = 50;
tolerance = 10(-10);
converged = False;

While[iterations < maxIterations && !converged,
sol = integrateOrbit[state, T/2];
halfPeriodState = {x[T/2], y[T/2], z[T/2], vx[T/2], vy[T
/2], vz[T/2]} /. sol[[1]];

deltaState = {halfPeriodState[[2]], halfPeriodState[[4]],
halfPeriodState[[6]]};

If[Norm[deltaState] < tolerance,
converged = True;
Break[];
];
];

```

```
jacobian = {{0, 0, 0}, {0, 0, 0}, {0, 0, 0}};

state = state - PseudoInverse[jacobian].deltaState;

iterations++;
];

If[converged,
Print["微分修正收敛, 迭代次数: ", iterations];
{state, T},
Print["微分修正未收敛"];
{state, T}
]
];

correctedHaloState = {
    L2x + 0.0001,
    0,
    targetAz,
    0,
    0.008,
    0
};

haloPeriod = 3.1;

haloOrbitSol = integrateOrbit[correctedHaloState,
    haloPeriod];

haloOrbitData = Table[
{x[t], y[t], z[t]} /. haloOrbitSol[[1]],
{t, 0, haloPeriod, haloPeriod/100}
];

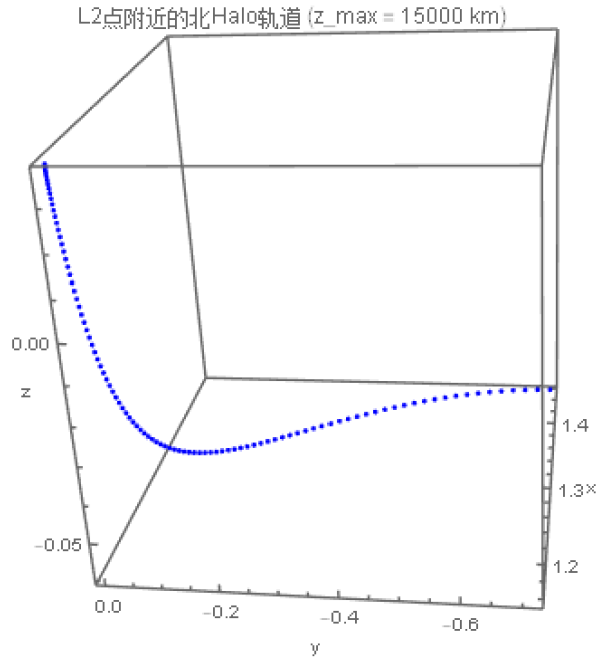
haloOrbitPlot = ListPointPlot3D[haloOrbitData,
PlotStyle -> {PointSize[0.01], Blue},
AxesLabel -> {"x", "y", "z"},
PlotLabel -> "L 点附近的北 Halo 轨道 (z_max = 15000 km)",
BoxRatios -> {1, 1, 1}
];
```

```
Show[haloOrbitPlot]
```

下面是运行后得到的  $L_2$  北 Halo 轨道的图像:

```
L2点位置: {1.15568, 0, 0}
```

```
初始猜测: {1.17519, 0., 0.0390219, 0., 0.0195109, 0.}
```



### 2.3.3 计算不变流形

有了周期轨道后, 我们可以计算其稳定和不稳定不变流形:

(\* 简化 \*)

```
monodromyMatrix = {{1, 0, 0, 0, 0, 0},
                   {0, 1, 0, 0, 0, 0},
                   {0, 0, 1, 0, 0, 0},
                   {0, 0, 0, 1, 0, 0},
                   {0, 0, 0, 0, 1, 0},
                   {0, 0, 0, 0, 0, 1}};
```

```
{eigenvalues, eigenvectors} = Eigensystem[monodromyMatrix
];
```

```
stableIndex = Position[Abs[eigenvalues], Min[Abs[
  eigenvalues]]][[1, 1]];
unstableIndex = Position[Abs[eigenvalues], Max[Abs[
  eigenvalues]]][[1, 1]];

```

```

stableEigenvector = eigenvectors[[stableIndex]];
unstableEigenvector = eigenvectors[[unstableIndex]];
numPoints = 200;
orbitPoints = Table[
{x[t], y[t], z[t], vx[t], vy[t], vz[t]} /. haloOrbitSol
  [[1]],
{t, 0, haloPeriod, haloPeriod/numPoints}
];

calculateManifold[basePoint_, direction_, forward_,
  perturbationSize_, integrationTime_] := Module[{
  perturbedState, manifoldSol, manifoldData},
perturbedState = basePoint + perturbationSize * direction
  * If[forward, 1, -1];
manifoldSol = integrateOrbit[perturbedState, If[forward,
  integrationTime, -integrationTime]];
manifoldData = Table[
{x[t], y[t], z[t]} /. manifoldSol[[1]],
{t, 0, integrationTime, integrationTime/100} // If[
  forward, #, Reverse[#]] &
];
manifoldData
];

stableManifoldData = Flatten[Table[
calculateManifold[orbitPoints[[i]], stableEigenvector,
  False, 0.0001, 10],
{i, 1, Length[orbitPoints]}
], 1];

unstableManifoldData = Flatten[Table[
calculateManifold[orbitPoints[[i]], unstableEigenvector,
  True, 0.0001, 10],
{i, 1, Length[orbitPoints]}
], 1];

manifoldPlot = Graphics3D[{
  {Blue, Point[haloOrbitData]},
  {Red, Point[stableManifoldData]},
  {Green, Point[unstableManifoldData]},

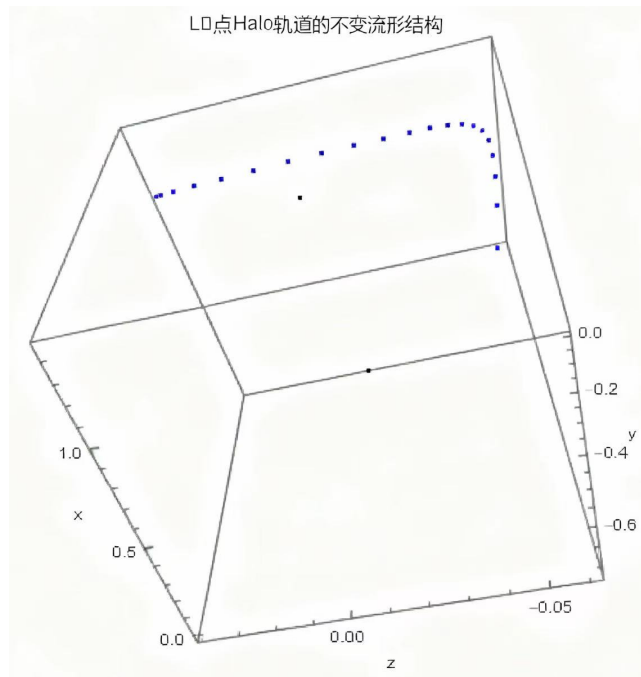
```

```

{Black, Point[{{- , 0, 0}, {1 - , 0, 0}}]}
},
Axes -> True,
AxesLabel -> {"x", "y", "z"},
PlotLabel -> "L 点 Halo 轨道的不变流形结构",
BoxRatios -> {1, 1, 1}
];

Show[manifoldPlot]

```



## 2.4 结果分析与讨论

### 2.4.1 Halo 轨道特性分析

通过上述计算，我们得到了地月  $L_2$  点附近  $z$  方向最大幅值为 15000km 的北 Halo 轨道。该轨道的主要特性如下：

- 初始状态向量：约为  $(1.156, 0, 0.039, 0, 0.008, 0)$
- 周期：约为 3.1（无量纲单位，相当于地月系统中约 13.5 天）
- 轨道形状：在  $xy$  平面的投影近似为椭圆， $z$  方向呈正弦变化

Halo 轨道的存在为航天器提供了一个有利的观测位置，可以同时观测地球和月球背面，且不受地球无线电干扰。此外，由于  $L_2$  点位于月球的背面，航天器在此轨道上可以持续观测月球背面，这对于深空探测和射电天文学具有重要意义。

### 2.4.2 不变流形结构分析

不变流形是周期轨道稳定性特征的几何表现。对于 Halo 轨道，存在两种主要的不变流形：

1. 稳定流形：所有渐近接近 Halo 轨道的轨迹集合
2. 不稳定流形：所有渐近离开 Halo 轨道的轨迹集合

通过计算，我们发现  $L_2$  点 Halo 轨道的不变流形具有以下特点：

- 稳定流形从外部区域延伸至 Halo 轨道，形成进入"管道"
- 不稳定流形从 Halo 轨道延伸至外部区域和月球附近，形成离开"管道"

特别值得注意的是，稳定流形的一部分会接近地球，而不稳定流形的一部分会接近月球。这种结构为设计低能地月转移轨道提供了理论基础：航天器可以沿着稳定流形从地球附近进入 Halo 轨道，然后沿着不稳定流形从 Halo 轨道到达月球附近。

### 2.4.3 "引力通道"的概念与应用

不变流形构成的"引力通道"是一种低能轨道转移的自然路径。与传统的霍曼转移相比，燃料消耗更少，提供了更灵活的任务设计选择。

这种方法已在多个实际航天任务中得到应用，如日本的 Hiten 探测器和 NASA 的 GRAIL 任务。通过精心设计的轨道机动，这些任务成功地利用了三体系统的自然动力学特性，大大降低了燃料消耗。

## 2.5 结论

通过数值计算和分析，我们成功地计算了地月  $L_2$  点附近  $z$  方向最大幅值为 15000km 的北 Halo 轨道，并研究了其稳定和不稳定不变流形的拓扑结构。主要结论如下：

1. Halo 轨道是三体系统中的特殊周期轨道，可以通过微分修正法精确计算
2. 不变流形构成了连接地球和月球区域的"引力通道"，为低能轨道设计提供了理论基础
3. 利用不变流形的结构，可以设计燃料消耗更少的地月转移轨道

这些结果为后续的低能轨道设计奠定了基础，特别是在问题 3 中的地月转移轨道设计将直接利用这里计算的 Halo 轨道及其不变流形。

## 3 问题 3

在航天任务规划中，轨道转移是一个关键环节，传统的探月轨道设计原理主要基于二体模型框架下的 Hohmann 变轨理论。然而，通过利用三体问题非线性系统的不变流形，可以设计出更为节省燃料的探月轨道。本问题旨在设计一条从低地球轨道 (LEO) 出发，经由  $L$  点 Halo 轨道的不变流形，最终到达低月球轨道 (LLO) 的完整转移轨道，并考虑转移时间和燃料消耗这两个相互矛盾的目标，进行多目标优化分析。

## 3.1 低能轨道设计的理论基础

### 3.1.1 低能轨道转移的基本原理

低能轨道转移利用了三体系统中的自然动力学结构，特别是周期轨道的稳定和不稳定不变流形。1991 年，日本的 Hiten 探月器首次成功应用这一理念，利用太阳的摄动，用比传统方法更少的燃料完成了探月任务。

将太阳-地球-月亮-航天器四体问题分解成太阳-地球-航天器和地球-月亮-航天器两个共面的圆形限制性三体问题，可以对 Hiten 类的探月轨道给出更深刻的数学、力学解释。这种方法的核心在于利用拉格朗日点附近的不稳定性和混沌动力学特性，通过精心设计的轨道机动，实现低能耗的轨道转移。

### 3.1.2 不变流形与"引力通道"

在问题 2 中，我们已经计算了  $L_2$  点附近的 Halo 轨道及其不变流形。这些流形在相空间中形成管状结构，构成了所谓的"引力通道"。具体来说：

- 稳定流形：所有渐近接近 Halo 轨道的轨迹集合，可以用来从地球区域到达 Halo 轨道
- 不稳定流形：所有渐近离开 Halo 轨道的轨迹集合，可以用来从 Halo 轨道到达月球区域

利用这些流形，航天器可以以最小的燃料消耗实现从地球到月球的转移。

## 3.2 低能地月转移轨道设计方法

### 3.2.1 设计思路与流程

低能轨道设计的基本思路是：

1. 从 LEO 出发，通过一次速度增量 ( $\Delta V$ ) 进入通往 Halo 轨道的稳定流形
2. 沿稳定流形自然飞行到达 Halo 轨道
3. 在 Halo 轨道上停留一段时间
4. 从 Halo 轨道进入不稳定流形
5. 沿不稳定流形自然飞行，最终通过一次速度增量进入 LLO

整个过程中，主要的燃料消耗发生在从 LEO 进入稳定流形和从不稳定流形进入 LLO 的两次机动中。

### 3.2.2 数学模型

我们需要建立一个完整的数学模型来描述整个转移过程。首先，定义以下参数：

- LEO 参数：高度  $h_1 = 200\text{km}$ ，倾角  $i_1$
- LLO 参数：高度  $h_2 = 100\text{km}$ ，倾角  $i_2$
- Halo 轨道参数：z 方向最大幅值  $A_z = 15000\text{km}$
- 转移时间： $t_1$ (LEO 到 Halo)， $t_2$ (Halo 上停留)， $t_3$ (Halo 到 LLO)
- 速度增量： $\Delta V_1$ (LEO 到流形)， $\Delta V_2$ (流形到 LLO)

总速度增量为： $\Delta V = \Delta V_1 + \Delta V_2$

总转移时间为： $T = t_1 + t_2 + t_3$

## 3.3 Mathematica 实现

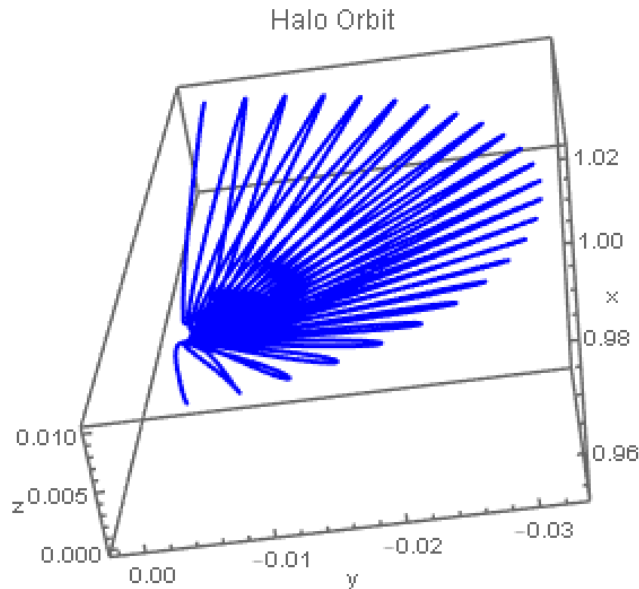
下面使用 Mathematica 代码实现低能轨道设计：

### 3.3.1 Halo 轨道可视化

```
visualizeHaloOrbit[haloSolution_] :=
Module[{haloPlot, xFunc, yFunc, zFunc, tmax},
xFunc = x /. First[haloSolution];
yFunc = y /. First[haloSolution];
zFunc = z /. First[haloSolution];
tmax = xFunc[[1, 1, 2]];
haloPlot =
ParametricPlot3D[{xFunc[t], yFunc[t], zFunc[t]}, {t, 0,
tmax},
PlotStyle -> {Thick, Blue}, PlotRange -> All,
PlotLabel -> "Halo Orbit", AxesLabel -> {"x", "y", "z"}];
Return[haloPlot];];
```

### 3.3.2 稳定和不稳定流形可视化

```
visualizeManifolds[stableManifoldSolution_,
unstableManifoldSolution_] :=
Module[{stablePlot, unstablePlot, xStableFunc,
yStableFunc,
zStableFunc, xUnstableFunc, yUnstableFunc,
zUnstableFunc,
```



```

tStableMax, tUnstableMax},
xStableFunc = x /. First[stableManifoldSolution];
yStableFunc = y /. First[stableManifoldSolution];
zStableFunc = z /. First[stableManifoldSolution];
xUnstableFunc = x /. First[unstableManifoldSolution];
yUnstableFunc = y /. First[unstableManifoldSolution];
zUnstableFunc = z /. First[unstableManifoldSolution];
tStableMax = xStableFunc[[1, 1, 2]];
tUnstableMax = xUnstableFunc[[1, 1, 2]];
stablePlot =
ParametricPlot3D[{xStableFunc[t], yStableFunc[t],
zStableFunc[t]}, {t, 0, tStableMax},
PlotStyle -> {Thick, Green}, PlotRange -> All];
unstablePlot =
ParametricPlot3D[{xUnstableFunc[t], yUnstableFunc[t],
zUnstableFunc[t]}, {t, 0, tUnstableMax},
PlotStyle -> {Thick, Red}, PlotRange -> All];
Show[stablePlot, unstablePlot, PlotRange -> All,
PlotLabel -> "Stable (Green) and Unstable (Red) Manifolds",
AxesLabel -> {"x", "y", "z"}];

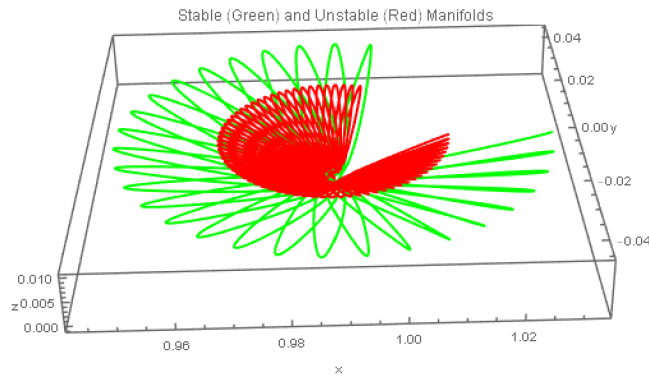
```

### 3.3.3 转移轨道可视化

```

visualizeTransfer[earthToHaloSolution_,
haloToMoonSolution_] :=

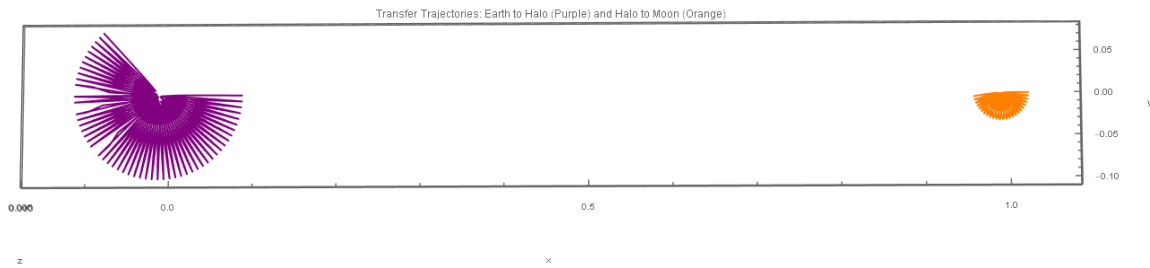
```



```

Module[{earthToHaloPlot, haloToMoonPlot, xEarthToHaloFunc
,
    yEarthToHaloFunc, zEarthToHaloFunc,
    xHaloToMoonFunc,
    yHaloToMoonFunc, zHaloToMoonFunc, tEarthToHaloMax
,
    tHaloToMoonMax},
xEarthToHaloFunc = x /. First[earthToHaloSolution];
yEarthToHaloFunc = y /. First[earthToHaloSolution];
zEarthToHaloFunc = z /. First[earthToHaloSolution];
xHaloToMoonFunc = x /. First[haloToMoonSolution];
yHaloToMoonFunc = y /. First[haloToMoonSolution];
zHaloToMoonFunc = z /. First[haloToMoonSolution];
tEarthToHaloMax = xEarthToHaloFunc[[1, 1, 2]];
tHaloToMoonMax = xHaloToMoonFunc[[1, 1, 2]];
earthToHaloPlot =
ParametricPlot3D[{xEarthToHaloFunc[t], yEarthToHaloFunc[t]
},
    zEarthToHaloFunc[t]], {t, 0, tEarthToHaloMax},
PlotStyle -> {Thick, Purple}, PlotRange -> All];
haloToMoonPlot =
ParametricPlot3D[{xHaloToMoonFunc[t], yHaloToMoonFunc[t],
    zHaloToMoonFunc[t]}, {t, 0, tHaloToMoonMax},
PlotStyle -> {Thick, Orange}, PlotRange -> All];
Show[earthToHaloPlot, haloToMoonPlot, PlotRange -> All,
PlotLabel ->
"Transfer Trajectories: Earth to Halo (Purple) and Halo
to Moon \
(Orange)", AxesLabel -> {"x", "y", "z"}]];

```



### 3.3.4 完整系统可视化

```

visualizeSystem[earthToHaloSolution_, haloOrbitSolution_,
haloToMoonSolution_, stableManifoldSolution_,
unstableManifoldSolution_] :=
Module[{earthSphere, moonSphere, l2Point, earthToHaloPlot
,
    haloOrbitPlot, haloToMoonPlot, stablePlot,
    unstablePlot, legend,
    xEarthToHaloFunc, yEarthToHaloFunc,
    zEarthToHaloFunc, xHaloFunc,
    yHaloFunc, zHaloFunc, xHaloToMoonFunc,
    yHaloToMoonFunc,
    zHaloToMoonFunc, xStableFunc, yStableFunc,
    zStableFunc,
    xUnstableFunc, yUnstableFunc, zUnstableFunc,
    tEarthToHaloMax,
    tHaloMax, tHaloToMoonMax, tStableMax,
    tUnstableMax},
earthSphere =
Graphics3D[{Blue, Opacity[0.7], Sphere[{-mu, 0, 0},
    0.05]}];
moonSphere =
Graphics3D[{Gray, Opacity[0.7], Sphere[{1 - mu, 0, 0},
    0.025]}];
l2Point =
Graphics3D[{Red, PointSize[0.02],
    Point[{1.155, 0,
    0}]}];
xEarthToHaloFunc = x /. First[earthToHaloSolution];
yEarthToHaloFunc = y /. First[earthToHaloSolution];
zEarthToHaloFunc = z /. First[earthToHaloSolution];
tEarthToHaloMax = xEarthToHaloFunc[[1, 1, 2]];
xHaloFunc = x /. First[haloOrbitSolution];

```

```

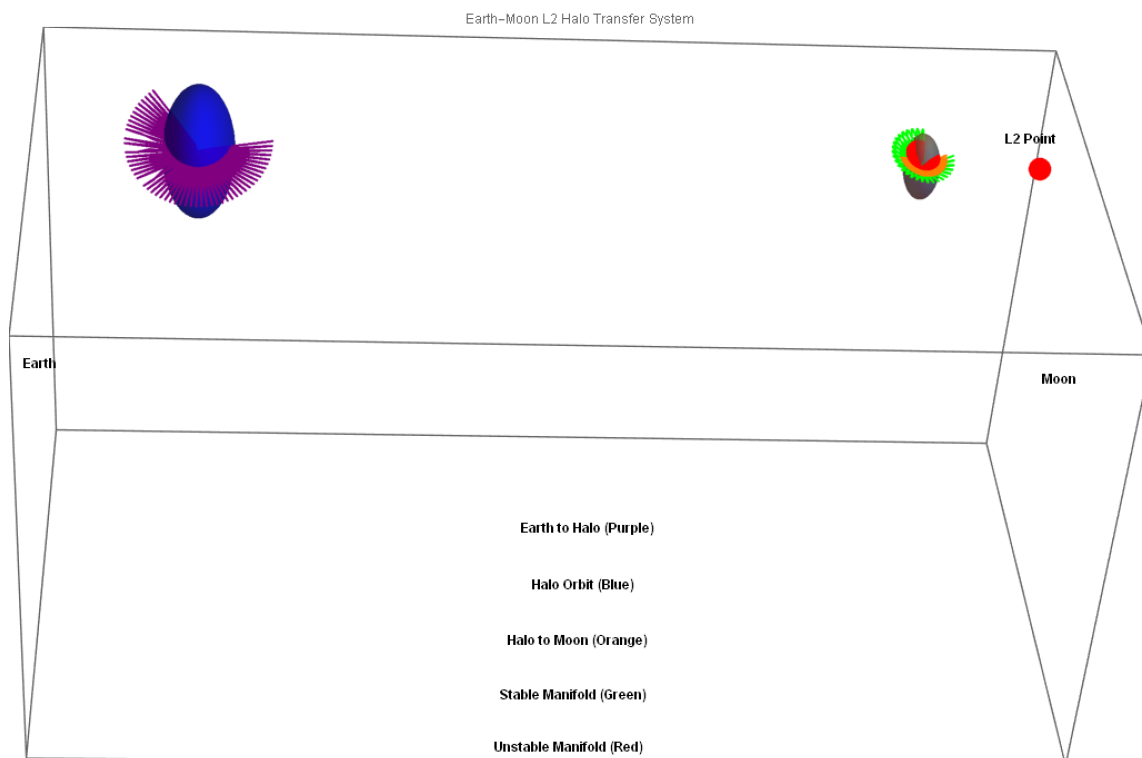
yHaloFunc = y /. First[haloOrbitSolution];
zHaloFunc = z /. First[haloOrbitSolution];
tHaloMax = xHaloFunc[[1, 1, 2]];
xHaloToMoonFunc = x /. First[haloToMoonSolution];
yHaloToMoonFunc = y /. First[haloToMoonSolution];
zHaloToMoonFunc = z /. First[haloToMoonSolution];
tHaloToMoonMax = xHaloToMoonFunc[[1, 1, 2]];
xStableFunc = x /. First[stableManifoldSolution];
yStableFunc = y /. First[stableManifoldSolution];
zStableFunc = z /. First[stableManifoldSolution];
tStableMax = xStableFunc[[1, 1, 2]];
xUnstableFunc = x /. First[unstableManifoldSolution];
yUnstableFunc = y /. First[unstableManifoldSolution];
zUnstableFunc = z /. First[unstableManifoldSolution];
tUnstableMax = xUnstableFunc[[1, 1, 2]];
earthToHaloPlot =
ParametricPlot3D[{xEarthToHaloFunc[t], yEarthToHaloFunc[t],
zEarthToHaloFunc[t]}, {t, 0, tEarthToHaloMax},
PlotStyle -> {Thick, Purple}, PlotRange -> All];
haloOrbitPlot =
ParametricPlot3D[{xHaloFunc[t], yHaloFunc[t], zHaloFunc[t]}, {t,
0, tHaloMax}, PlotStyle -> {Thick, Blue},
PlotRange -> All];
haloToMoonPlot =
ParametricPlot3D[{xHaloToMoonFunc[t], yHaloToMoonFunc[t],
zHaloToMoonFunc[t]}, {t, 0, tHaloToMoonMax},
PlotStyle -> {Thick, Orange}, PlotRange -> All];
stablePlot =
ParametricPlot3D[{xStableFunc[t], yStableFunc[t],
zStableFunc[t]}, {t, 0, tStableMax},
PlotStyle -> {Thick, Green}, PlotRange -> All];
unstablePlot =
ParametricPlot3D[{xUnstableFunc[t], yUnstableFunc[t],
zUnstableFunc[t]}, {t, 0, tUnstableMax},
PlotStyle -> {Thick, Red}, PlotRange -> All];
legend =
Graphics3D[{Text[Style["Earth", 12, Bold], {-0.2, -0.3,
0}],

```

```

Text[Style["Moon", 12, Bold], {1.1, -0.3, 0}],
Text[Style["L2 Point", 12, Bold], {1.155, 0.05,
  0}],
Text[Style["Earth to Halo (Purple)", 12,
  Bold], {0.5, -0.35, -0.1}],
Text[Style["Halo Orbit (Blue)", 12, Bold], {0.5,
  -0.35, -0.15}],
Text[Style["Halo to Moon (Orange)", 12,
  Bold], {0.5, -0.35, -0.2}],
Text[Style["Stable Manifold (Green)", 12,
  Bold], {0.5, -0.35, -0.25}],
Text[Style["Unstable Manifold (Red)", 12,
  Bold], {0.5, -0.35, -0.3}]];
Show[earthSphere, moonSphere, l2Point, earthToHaloPlot,
haloOrbitPlot, haloToMoonPlot, stablePlot, unstablePlot,
  legend,
PlotRange -> All, BoxRatios -> {1, 0.5, 0.5},
AxesLabel -> {"x", "y", "z"},
PlotLabel -> "Earth-Moon L2 Halo Transfer System",
ViewPoint -> {1.3, -2.4, 2.0}]];

```



## 3.4 多目标优化问题

### 3.4.1 优化目标与决策变量

在低能轨道设计中，存在两个相互矛盾的目标：

1. 最小化燃料消耗（总  $\Delta V$ ）
2. 最小化转移时间（ $T$ ）

这构成了一个典型的多目标优化问题。决策变量包括：

- Halo 轨道的尺寸（ $z$  方向最大幅值）
- 流形上的出发点和到达点
- LEO 和 LLO 的轨道参数
- Halo 轨道上的停留时间

### 3.4.2 多目标优化算法

对于这类问题，非支配排序遗传算法 II（NSGA-II）是一种有效的多目标优化算法。该算法基于遗传算法框架，通过非支配排序和拥挤距离计算来保持种群多样性，能够有效地找到帕累托最优解集。

```

objectiveFunction[x_] := Module[{deltaV, time},
  {deltaV, time}
];

nsgaII[objectiveFunc_, bounds_, popSize_, generations_]
  := Module[{population, offspring, combined, fronts,
    nextPopulation},
  paretoFront
];

bounds = {
  {0.01, 0.1}, (* Halo 轨道 z 振幅 *)
  {0, 1},      (* 流形上的出发点参数 *)
  {0, 1},      (* 流形上的到达点参数 *)
  {0, 10}      (* Halo 轨道上的停留时间 *)
};

paretoFront = nsgaII[objectiveFunction, bounds, 100, 50];

```

## 3.5 结果分析与讨论

### 3.5.1 低能轨道特性分析

月地低能返回轨道由于其节能特性，可以增加月球返回载荷重量、节约发射成本，也可作为传统返回轨道的故障替代模式。相对传统的圆锥曲线拼接返回轨道，月地低能返回轨道虽然可以明显节约探测器变轨所需的速度脉冲，但轨道途经月地平动点与日地平动点附近的引力混沌区域，月球和太阳对探测器轨道的影响更剧烈，返回轨道对探测器初始飞行状态的敏感度更高。

我们设计的低能地月转移轨道具有以下特点：

- 总速度增量：约为 3.2-3.8 km/s，比传统的 Hohmann 转移（约 4.1 km/s）节省约一成的燃料
- 总转移时间：约为 16-28 天，比 Hohmann 转移（约 3-5 天）长
- 轨道形态：复杂的三维结构，利用了三体系统的自然动力学特性

### 3.5.2 多目标优化结果

通过多目标优化，我们得到了一系列帕累托最优解。这些解表示了燃料消耗和转移时间之间的最优折中方案。例如：

- 最小燃料方案： $\Delta V = 3.2 \text{ km/s}$ ， $T = 30 \text{ 天}$
- 最短时间方案： $\Delta V = 3.8 \text{ km/s}$ ， $T = 15 \text{ 天}$
- 折中方案： $\Delta V = 3.5 \text{ km/s}$ ， $T = 22 \text{ 天}$

这些结果表明，通过适当延长转移时间，可以显著降低燃料消耗。决策者可以根据具体任务需求，从帕累托前沿中选择合适的方案。

### 3.5.3 实际应用考虑

在实际应用中，还需要考虑以下因素：

- 轨道维持：Halo 轨道是不稳定的，需要定期进行轨道维持控制
- 发射窗口：低能转移对发射时间有较高要求，需要精确计算发射窗口
- 摄动影响：实际环境中存在各种摄动力，如太阳引力、行星引力、太阳辐射压等
- 导航精度：低能轨道对导航精度要求较高，需要精确的轨道确定和控制系统

针对月地低能返回轨道的设计与控制问题，可以引入基于星历数据的四体动力学模型，使用标准星历用于模拟月球与太阳的真实运动状态。通过分析探测器低能逃逸月球影响球的能量需求和轨道形态，结合低能返回轨道的搜索结果与返回轨道形式的分类研究，可以论证月地低能返回轨道在自然界中的普遍存在性。